

Centrum environmentálního výzkumu: Odpadové a oběhové hospodářství a environmentální bezpečnost

WP 1.B NOVÉ DRUHY ODPADŮ
A TECHNOLOGIÍ

WP 2.B KONTAMINACE HORNINOVÉHO PROSTŘEDÍ

konference
Životní prostředí – Prostředí pro život
2. – 3. 11. 2023, NTK Praha



T A
Č R

Tento projekt je spolufinancován se státní podporou Technologické agentury ČR a Ministerstva životního prostředí v rámci Programu Prostředí pro život.

www.tacr.cz www.mzp.cz



Negativní vliv mikroplastů na životní prostředí

Tomáš Cajthaml

*Ústav pro životní prostředí, Přírodovědecká fakulta
Univerzita Karlova, Benátská 2, 128 01 Praha 2*





Původ mikroplastů



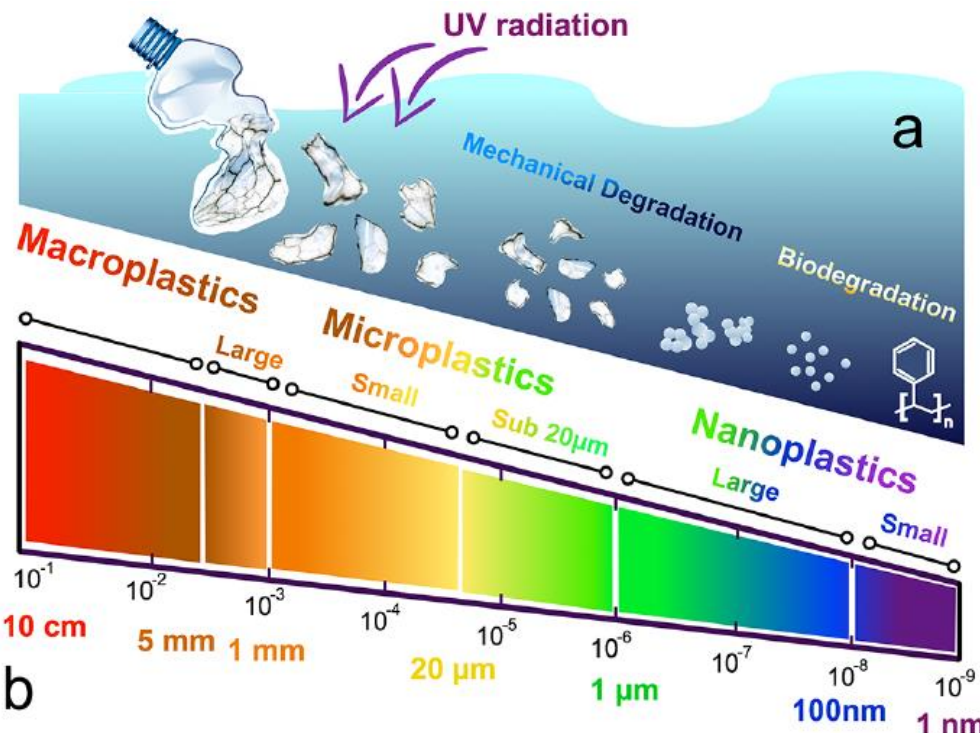
PRIMÁRNÍ MIKROPLASTY

do životního prostředí vstupují
v podobě mikročástic

SEKUNDÁRNÍ MIKROPLASTY

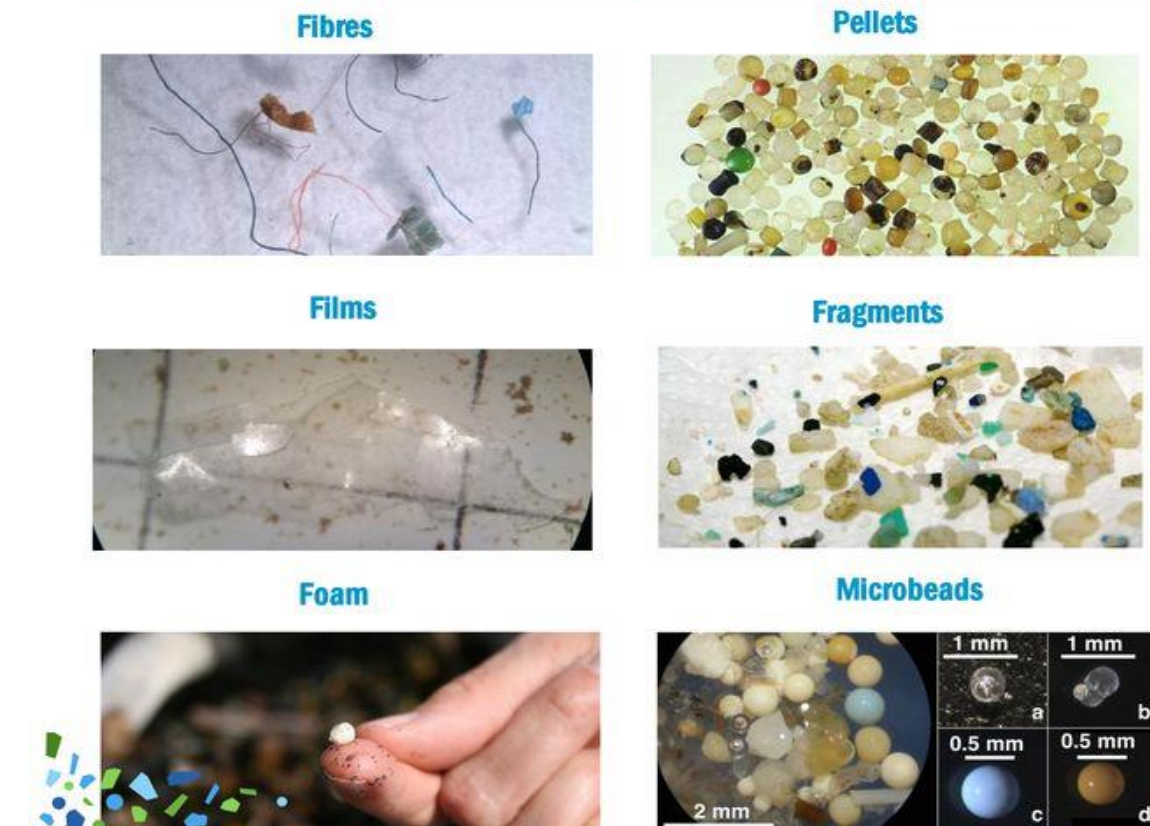
vznikají z životního prostředí rozpadem
větších plastových předmětů

Proces degradace plastů a dělení částic dle velikosti



Gillibert, R. et al. (2019) 'Raman tweezers for small microplastics and nanoplastics identification in seawater', *Environmental Science and Technology*, 53(15), pp. 9003–9013. doi: 10.1021/acs.est.9b03105.

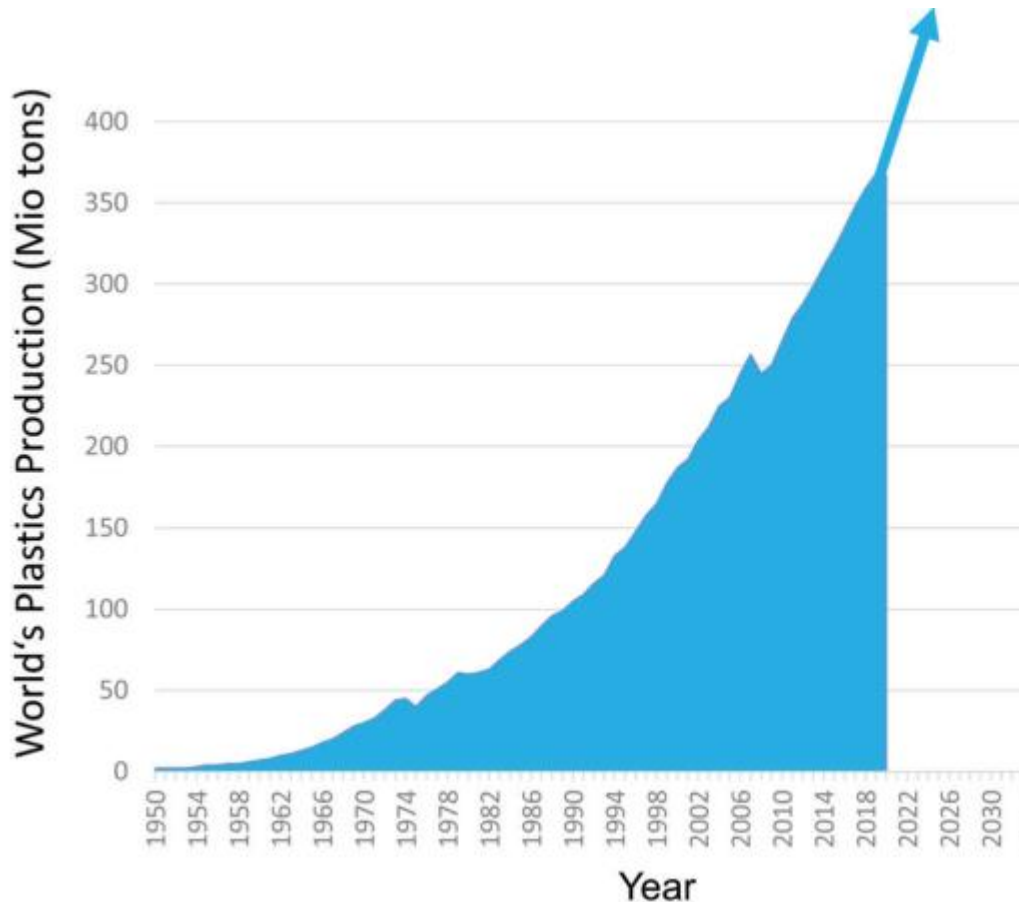
TYPES OF MICROPLASTICS | Overview





Celosvětová produkce plastů

Od počátků



V posledních letech

World plastics production* evolution

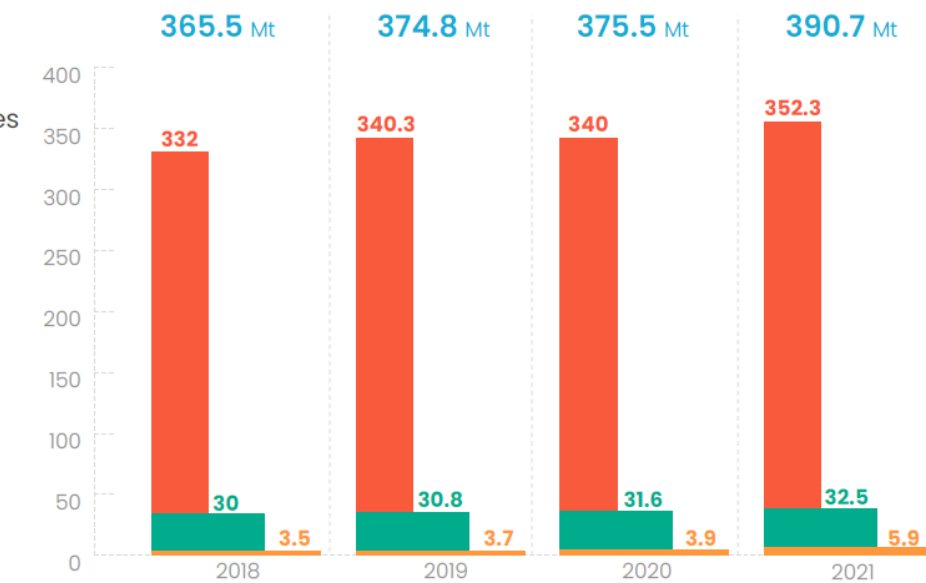
After a stagnation in 2020 due to the Covid-19 pandemic, the global plastics production increased to 390.7 million tonnes in 2021.

in million tonnes

Fossil-based plastics¹

Post-consumer recycled plastics²

Bio-based plastics (including bio-attributed plastics in 2021 data)³



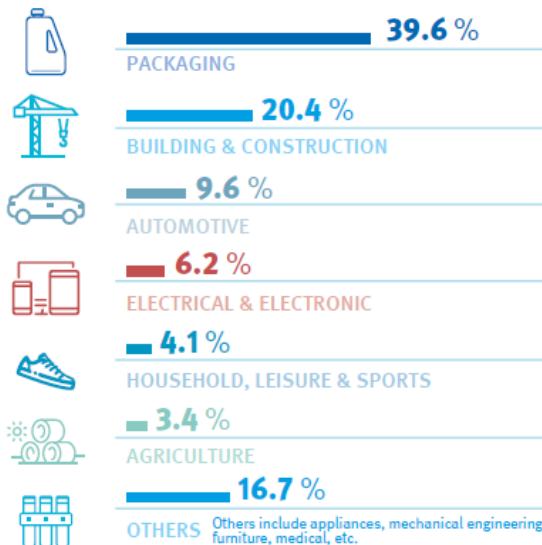


Využití plastů x čas jejich rozkladu



PLASTICS DEMAND BY SEGMENT 2019

Distribution of European (EU28+NO/CH) plastics converters demand by segment in 2019. Packaging and building & construction by far represent the largest end-use markets. The third biggest end-use market is the automotive industry.

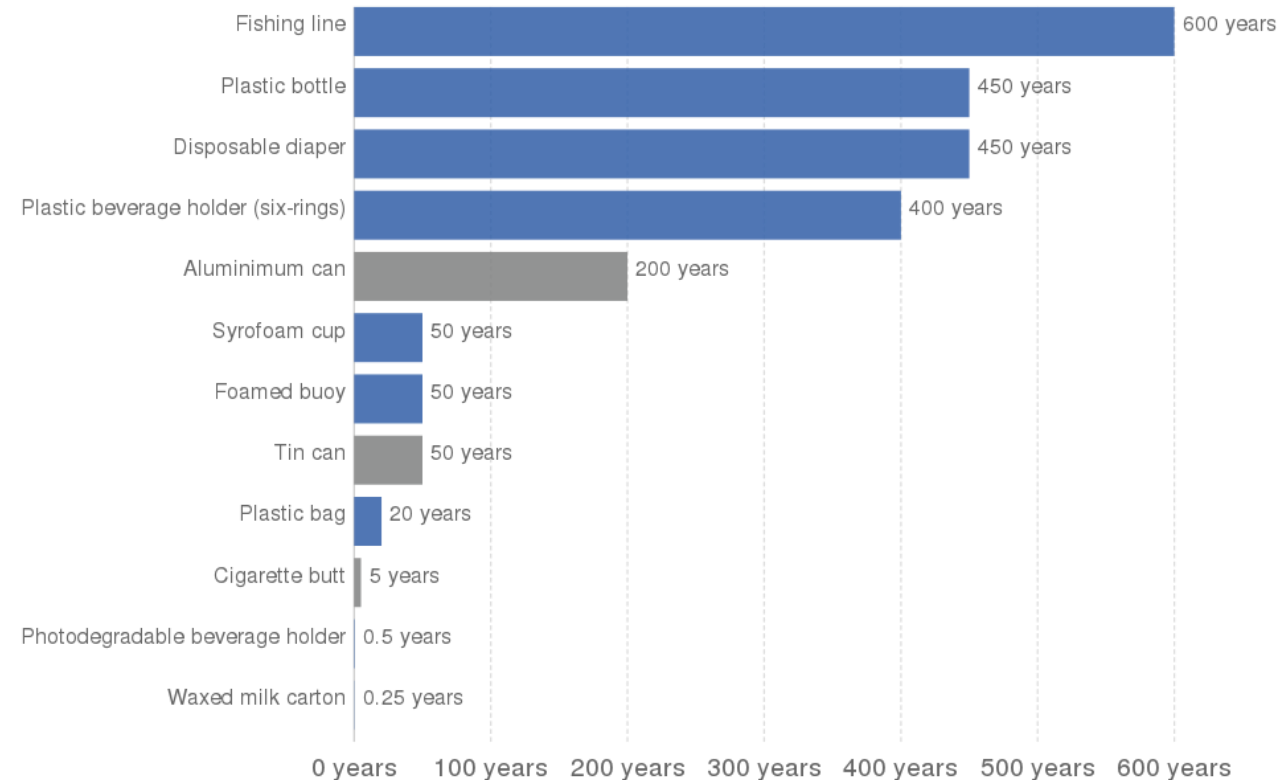


SOURCE: PlasticsEurope
Market Research Group
(PEMRG) and Conversio
Market & Strategy GmbH

50.7 Million tonnes
Total European
plastics converters
demand

Decomposition rates of marine debris items

Average estimated decomposition times of typical marine debris items. Plastic items are shown in blue.



PlasticsEurope (2019) Plastics – the Facts 2019 An analysis of European plastics production, demand and waste data.

Source: U.S. National Park Service; Mote Marine Lab; National Oceanic and Atmospheric Administration Marine Debris Program



Nakládání s plastovým odpadem



Plastic post-consumer waste rates of recycling, energy recovery and landfill per country in 2018



Zero
landfilling
is needed
to achieve
the circular
economy
of plastics

Countries with landfill
restrictions of recyclable
and recoverable waste
have, on average,
higher recycling rates of
plastic post-consumer
waste.

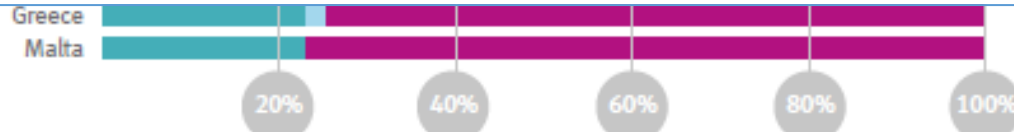
SOURCE: Conversio Market
& Strategy GmbH



Nakládání s plastovým odpadem



Plastic post-consumer waste rates of recycling, energy recovery
and landfill per country in 2019



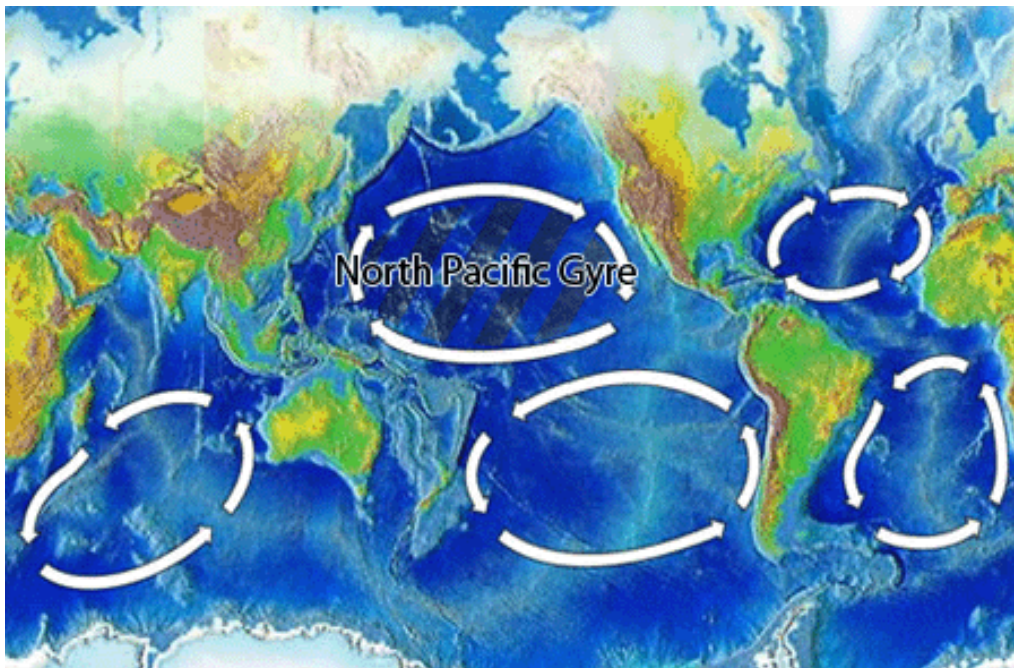
SOURCE: Conversio Market
& Strategy GmbH



Nakládání s plastovým odpadem

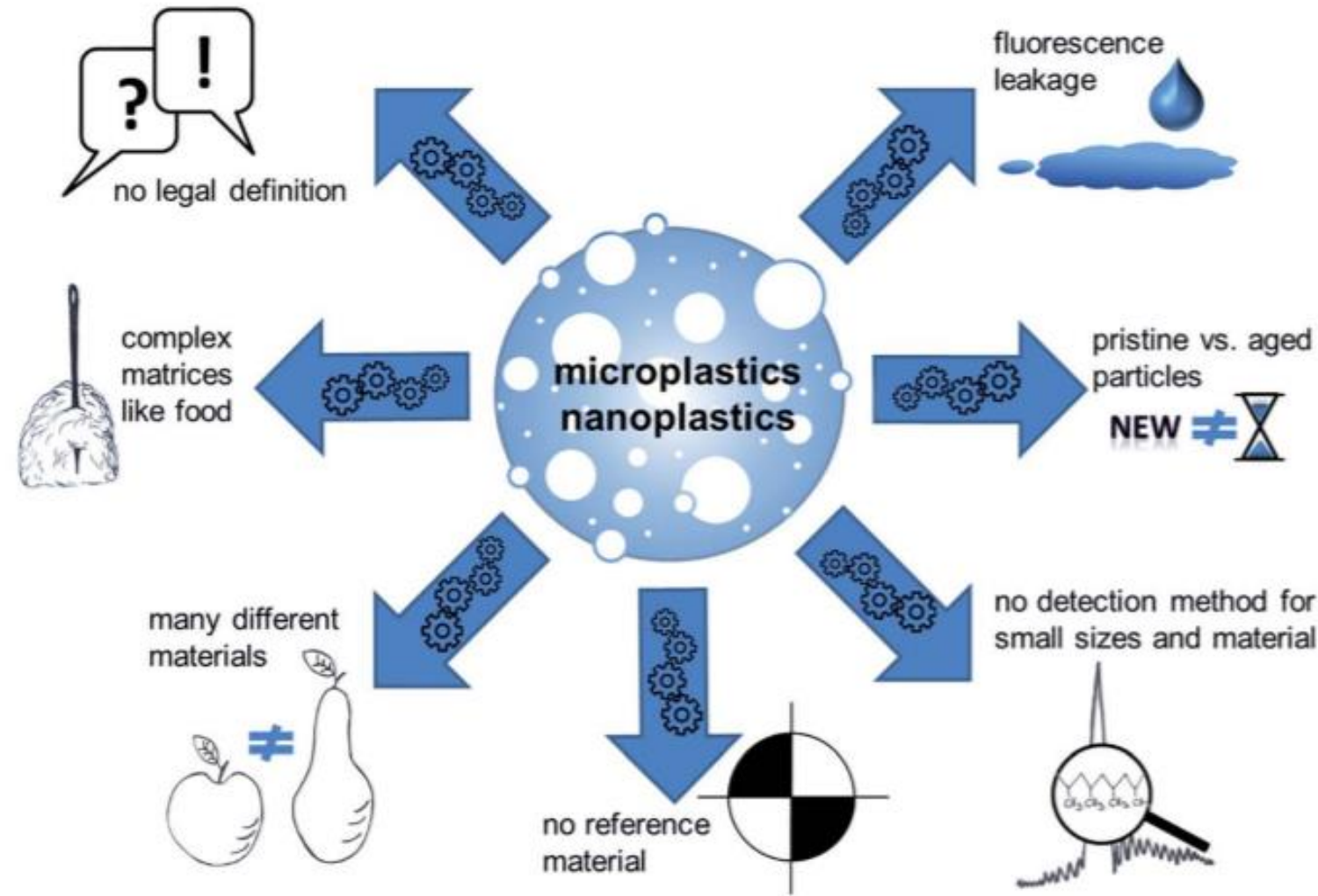


Velká tichomořská odpadková skvrna (4x rozloha Německa)





Výzvy a nástrahy výzkumu mikro- a nanoplastů





Nástrahy výzkumu mikroplastů: tvar a materiál

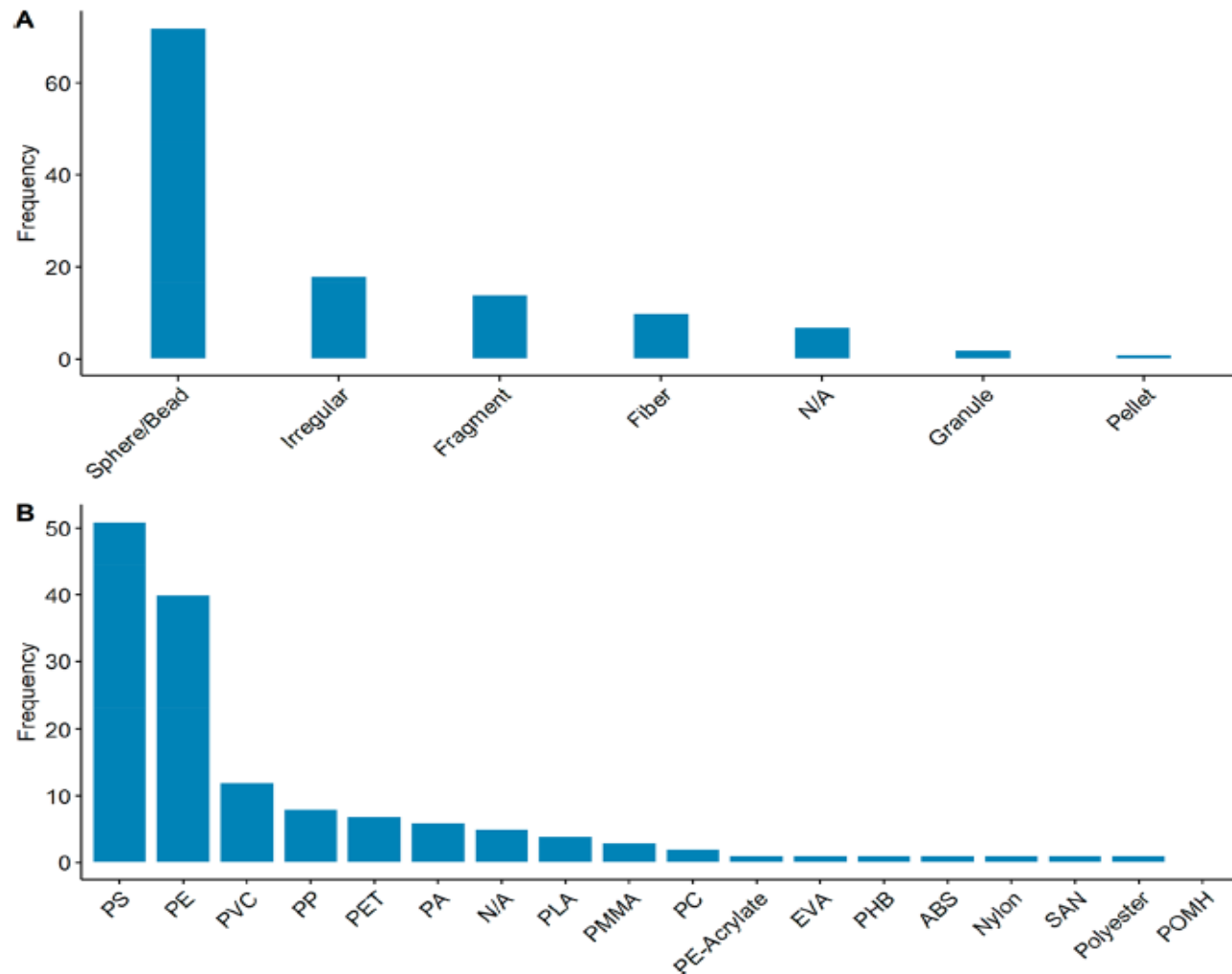
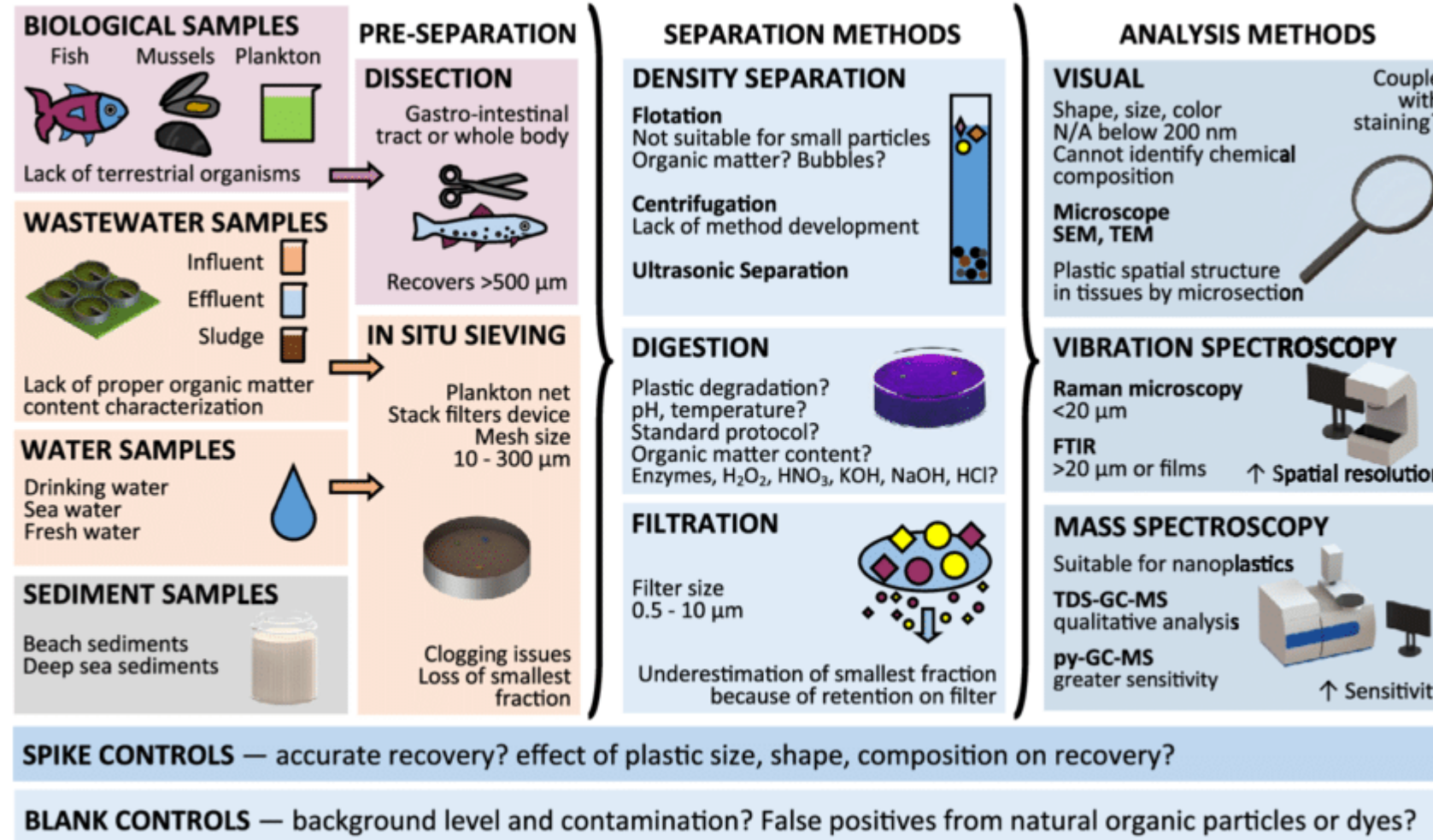


Figure 2. Number of studies reporting a particular shape (A) or polymer type (B) for the microplastics used in the exposure tests (from a total of 124 records for shapes and 145 records for polymer types). PS = polystyrene, PE = polyethylene, PVC = polyvinyl chloride, PP = polypropylene, PET = terephthalate, PA = polyamide, N/A = not analyzed, PLA = polylactic acid, PMMA = poly(methyl methacrylate), PC = polycarbonate, PE-Acrylate = polyethylene-Acrylate, EVA = ethylene-vinyl acetate, PHB = polyhydroxybutyrate, ABS = acrylonitrile butadiene styrene, SAN = styrene acrylonitrile resin, and POMH = polyoxymethylene-homopolymer.



Metody detekce mikroplastů



Overview of microplastics and nanoplastics separation and analysis methods in simple and complex matrices

Nguyen, B. et al. (2019) 'Separation and Analysis of Microplastics and Nanoplastics in Complex Environmental Samples'. doi: 10.1021/acs.accounts.8b00602.



Kde byly mikroplasty nalezeny?



(Liebezeit and Liebezeit al., 2013, 2014)

(Schymanski et al., 2018)



(Li et al., 2015)

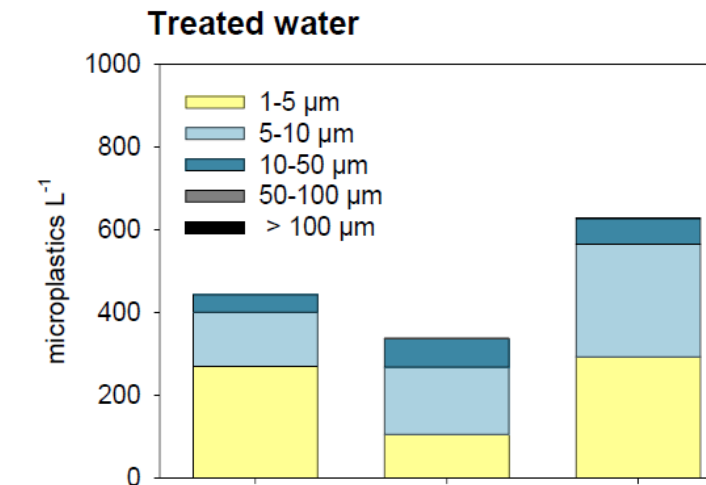
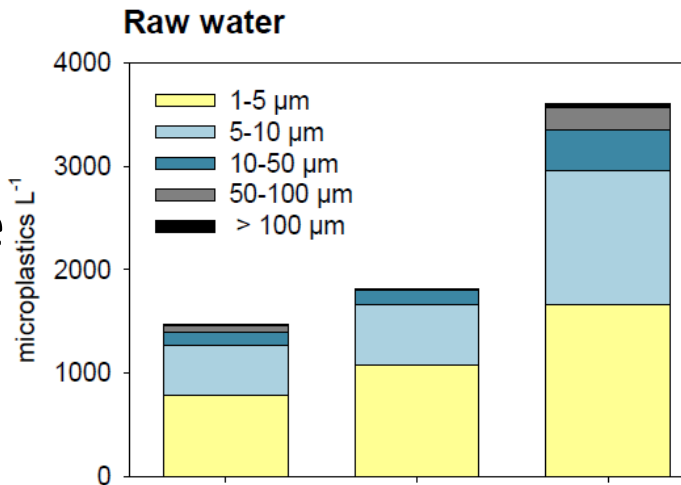
(Hernandez et al., 2019)

(Yang et al., 2015)

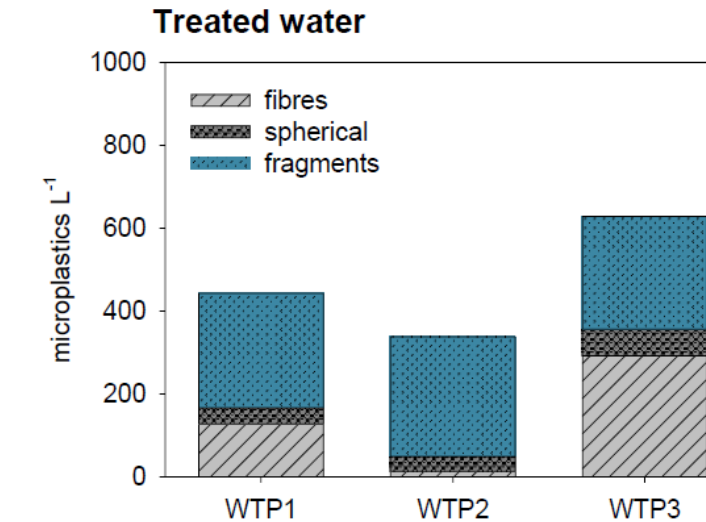
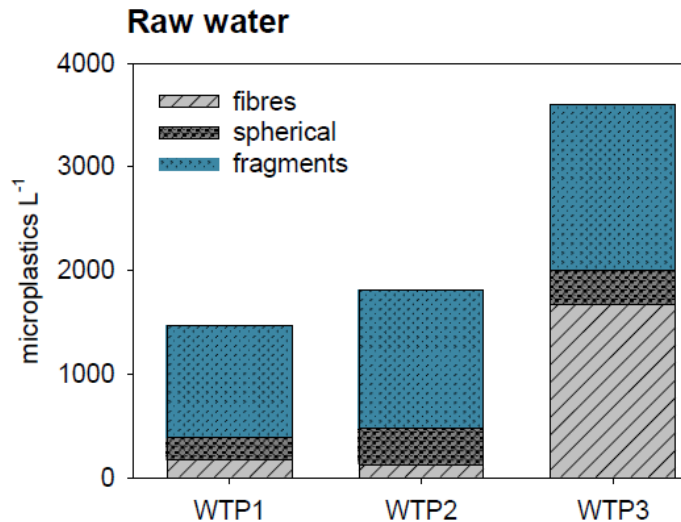


Mikroplasty v pitných vodách v České republice

Velikostní distribuce

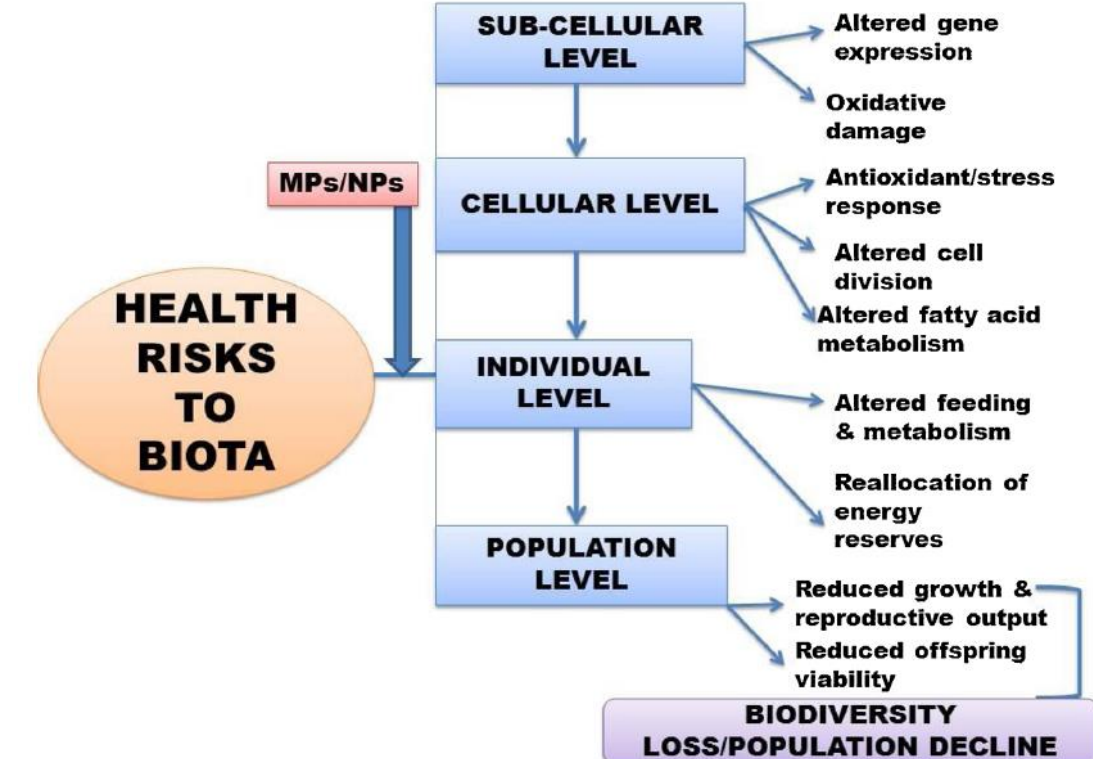
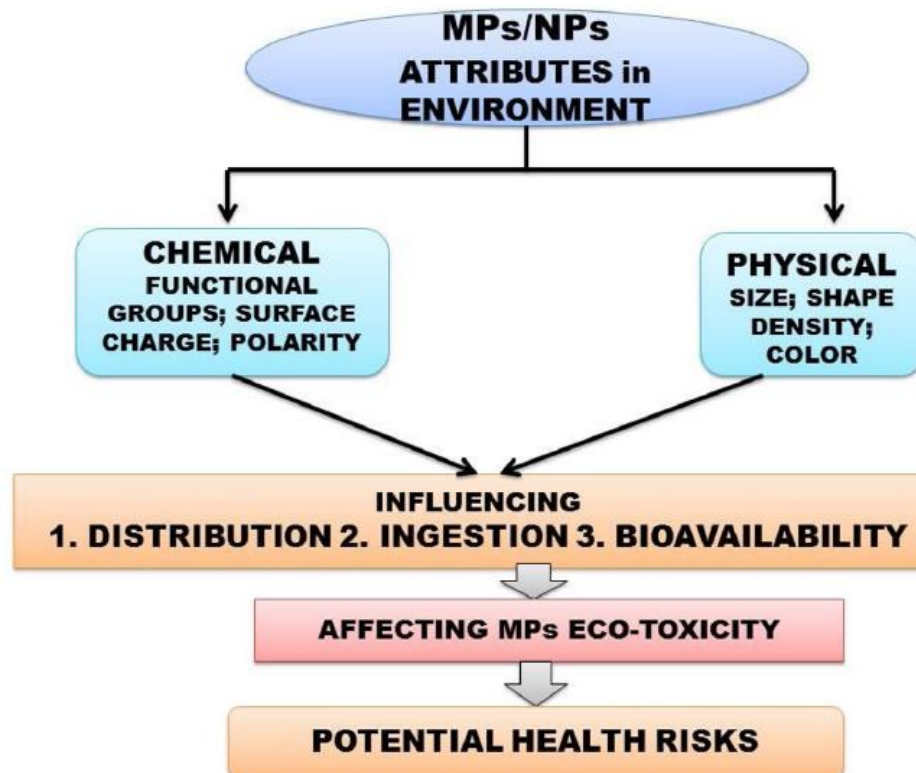


Tvarová distribuce





Toxicita mikroplastů



Fyzikálně chemické vlastnosti plastových částic ovlivňující jejich chování, ekotoxicitu, osud a transport v životním prostředí

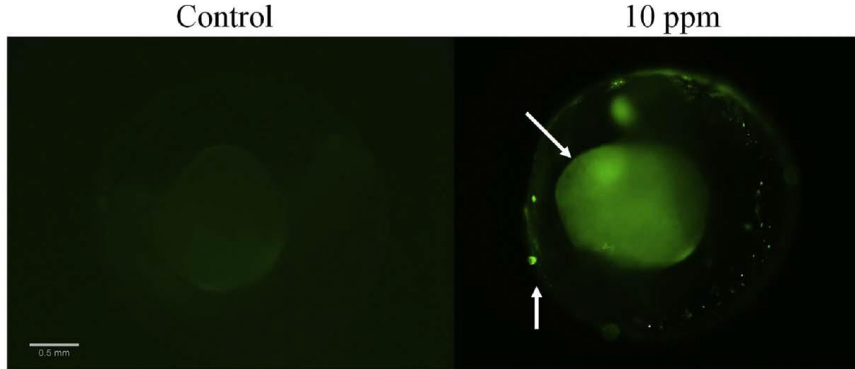
Zdravotní rizika expozice mikroplastům a nanoplastům:
od molekulární po ekosystémovou úroveň



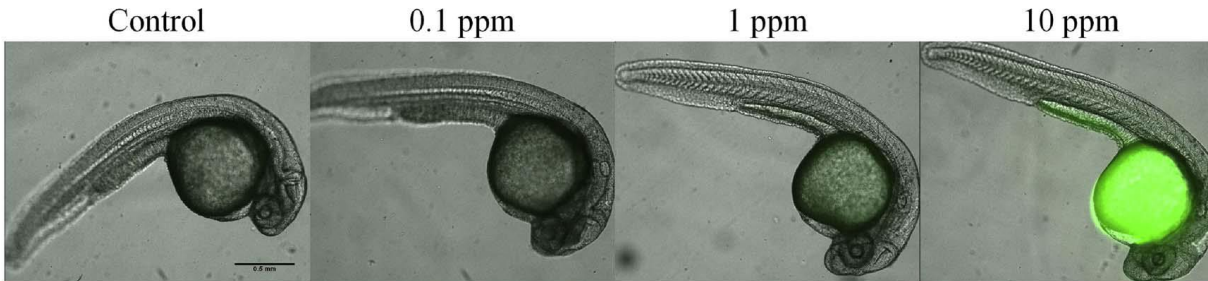
Toxicita mikroplastů – biodostupnost

PS 51 nm

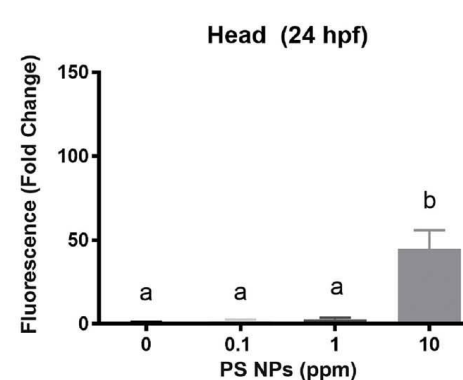
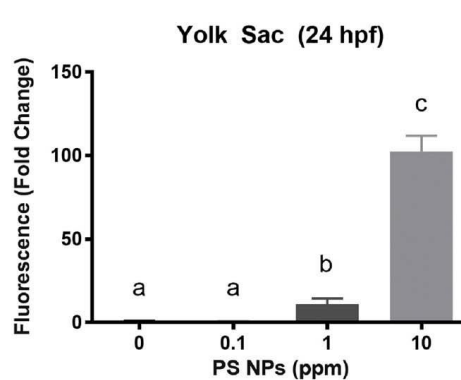
A



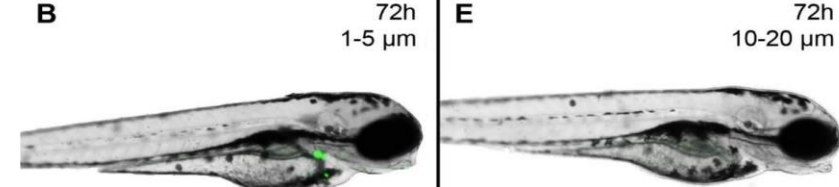
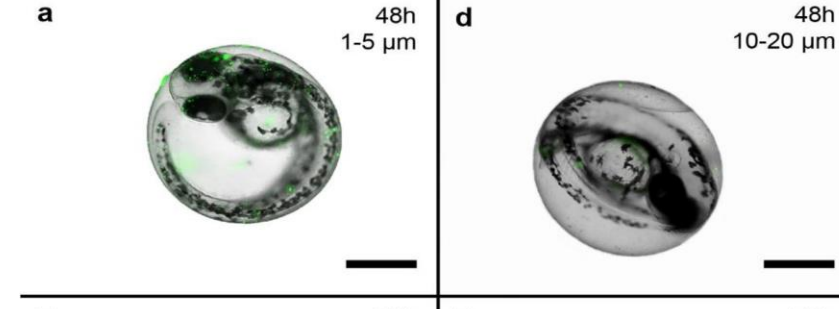
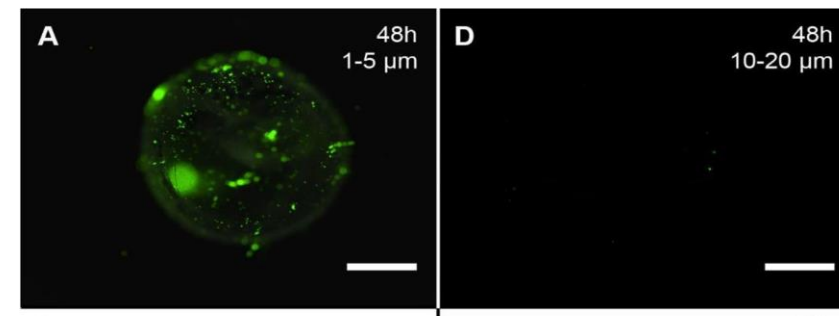
B



C

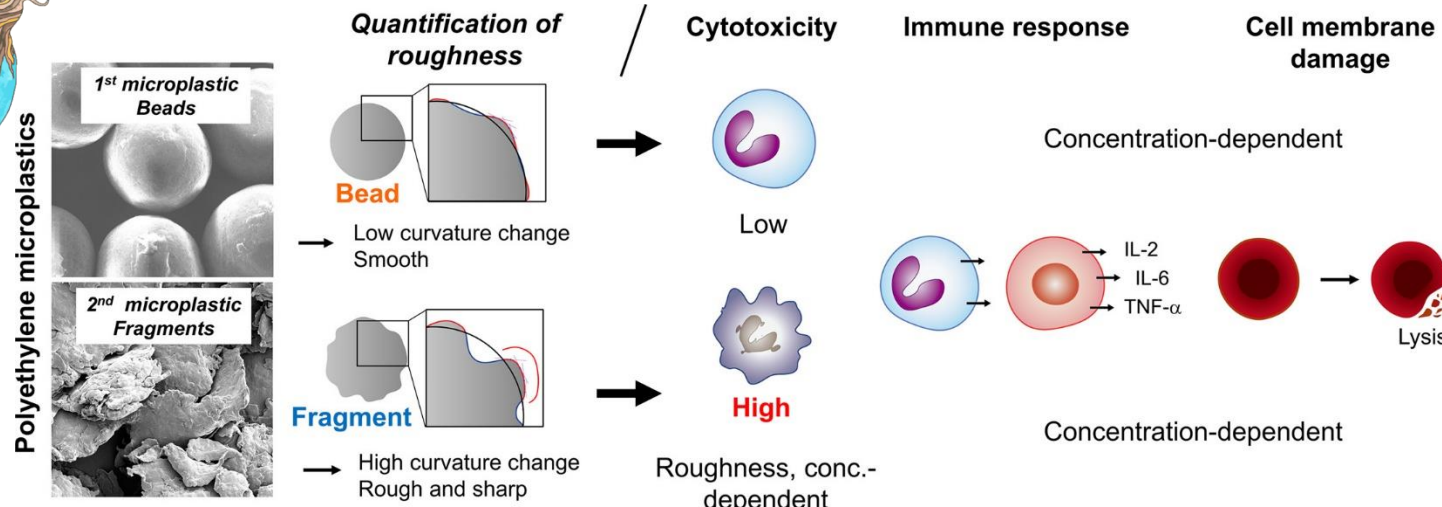


PE



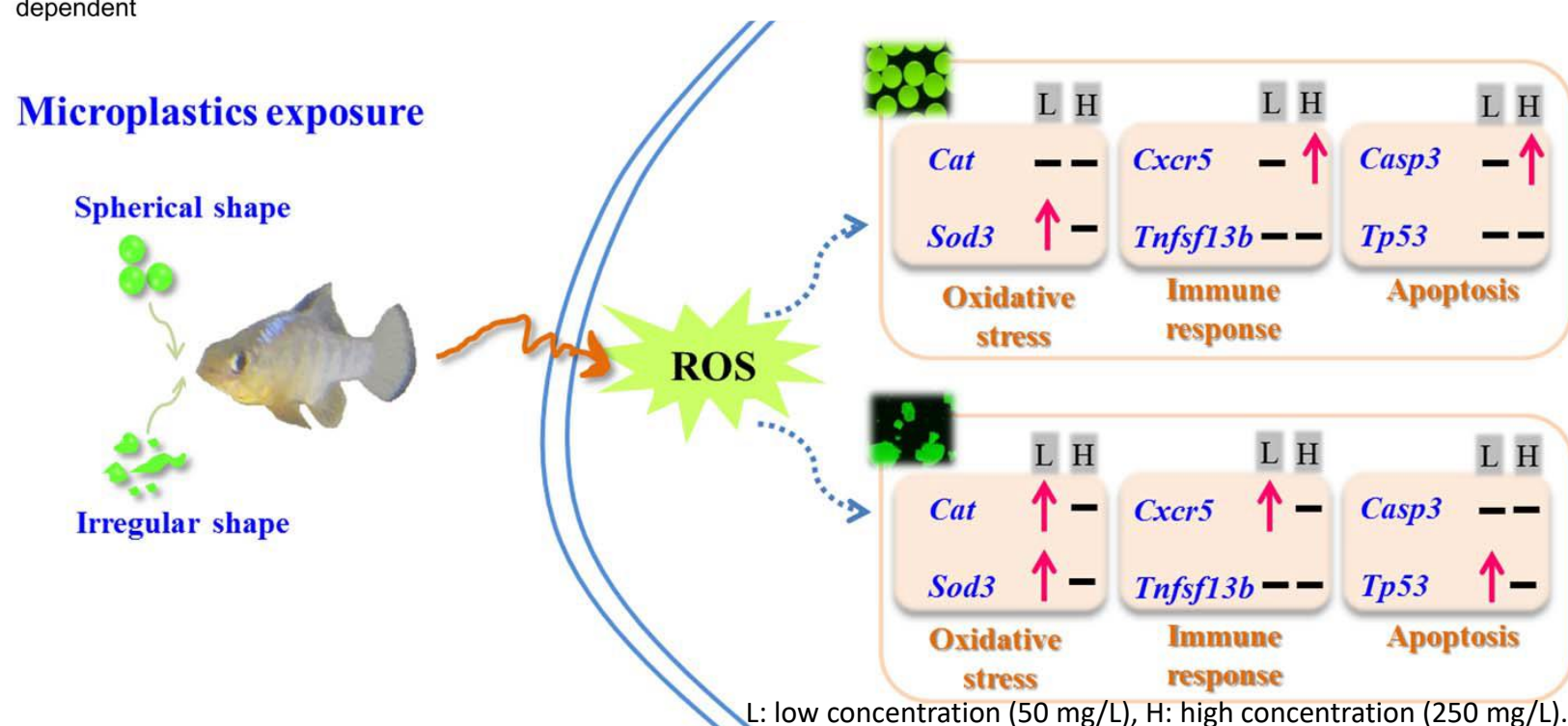


Toxicita mikroplastů – vliv tvaru



Choi, D. et al. (2021) 'In vitro toxicity from a physical perspective of polyethylene microplastics based on statistical curvature change analysis', *Science of the Total Environment*. Elsevier B.V., 752, p. 142242. doi: 10.1016/j.scitotenv.2020.142242.

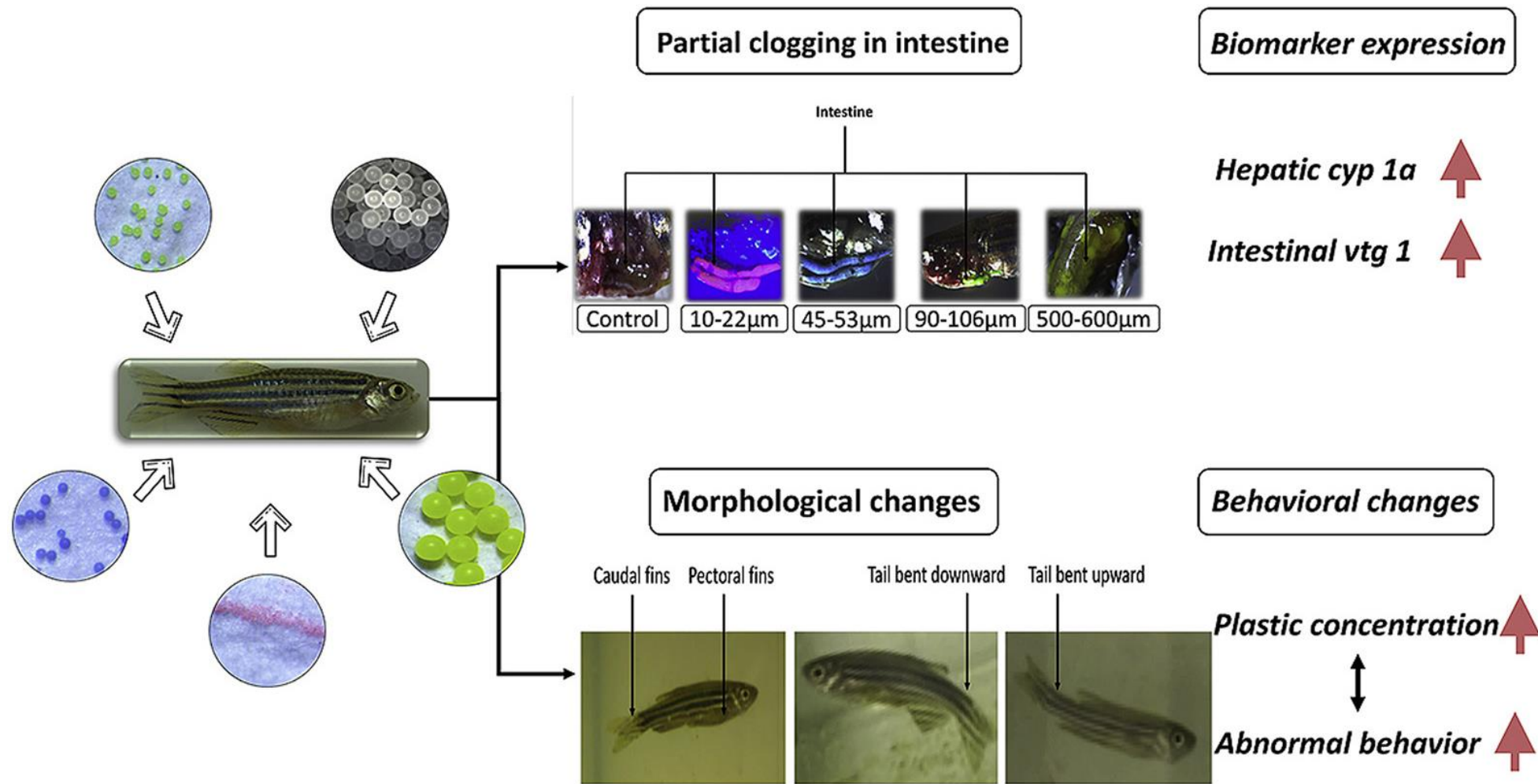
Choi, J. S. et al. (2018) 'Toxicological effects of irregularly shaped and spherical microplastics in a marine teleost, the sheepshead minnow (*Cyprinodon variegatus*)', *Marine Pollution Bulletin*. Elsevier Ltd, 129(1), pp. 231–240. doi: 10.1016/j.marpolbul.2018.02.039.





Toxicita mikroplastů – *in vivo*

Toxický efekt mikročástic polyethylenu na dospělé *Danio rerio*

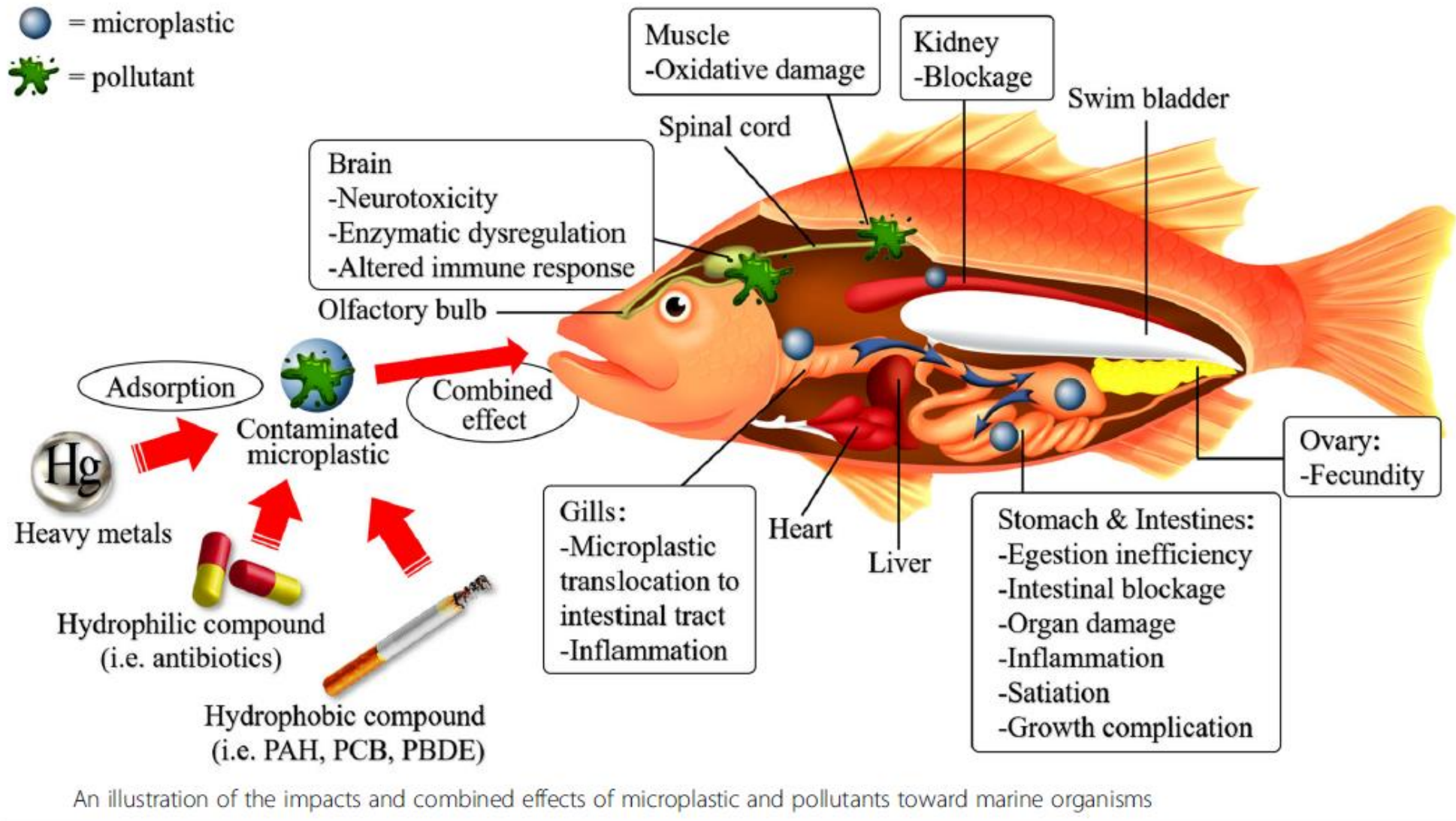


Mak, C. W., Ching-Fong Yeung, K. and Chan, K. M. (2019) 'Acute toxic effects of polyethylene microplastic on adult zebrafish', *Ecotoxicology and Environmental Safety*, 182, p. 109442. doi: 10.1016/j.ecoenv.2019.109442.



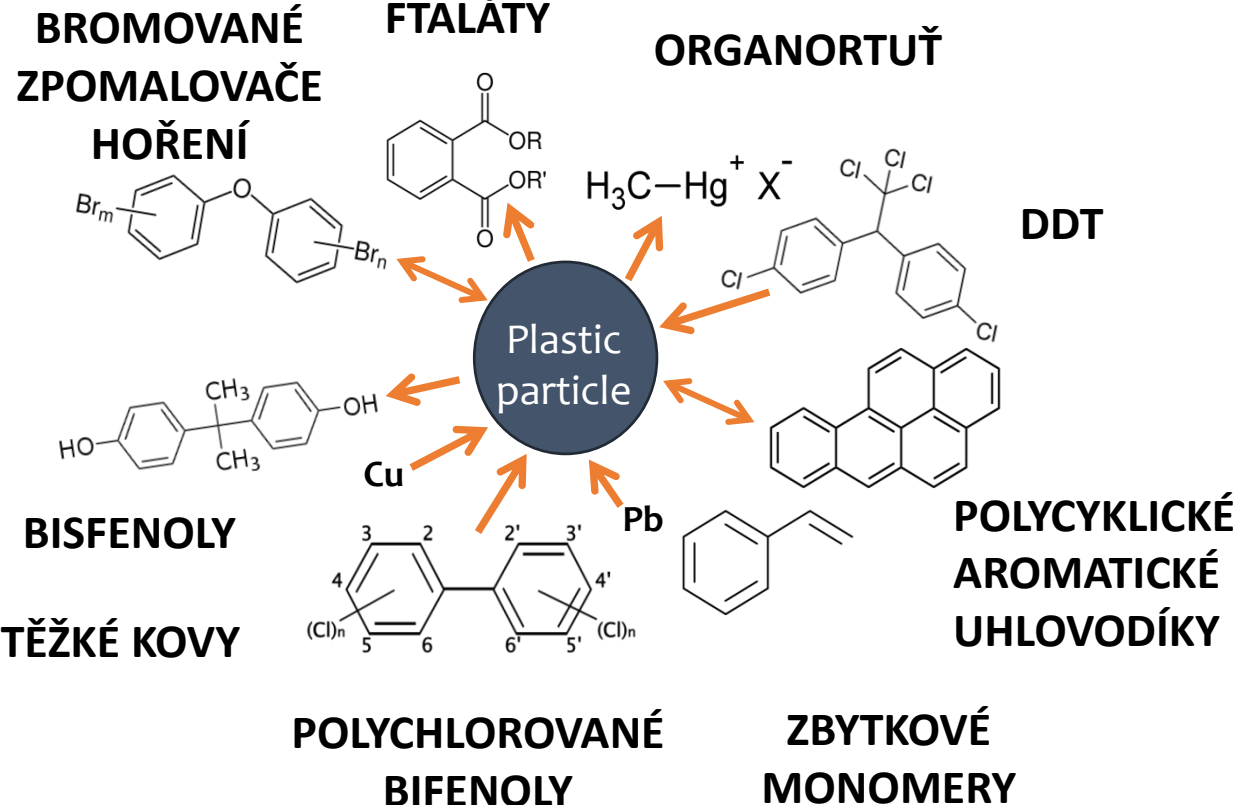
Toxicita mikroplastů

● = microplastic
✖ = pollutant





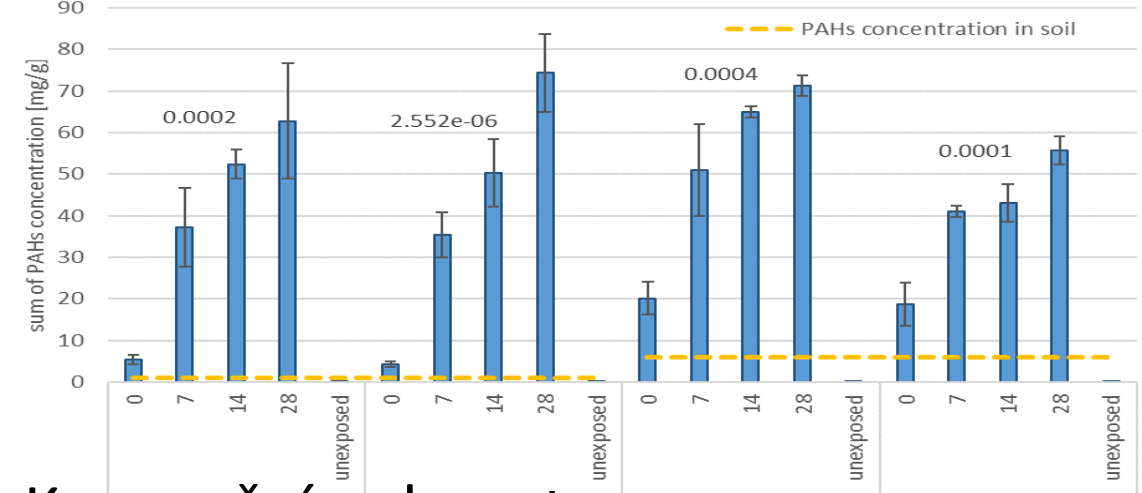
Toxicita mikroplastů a dalších polutantů - akumulace



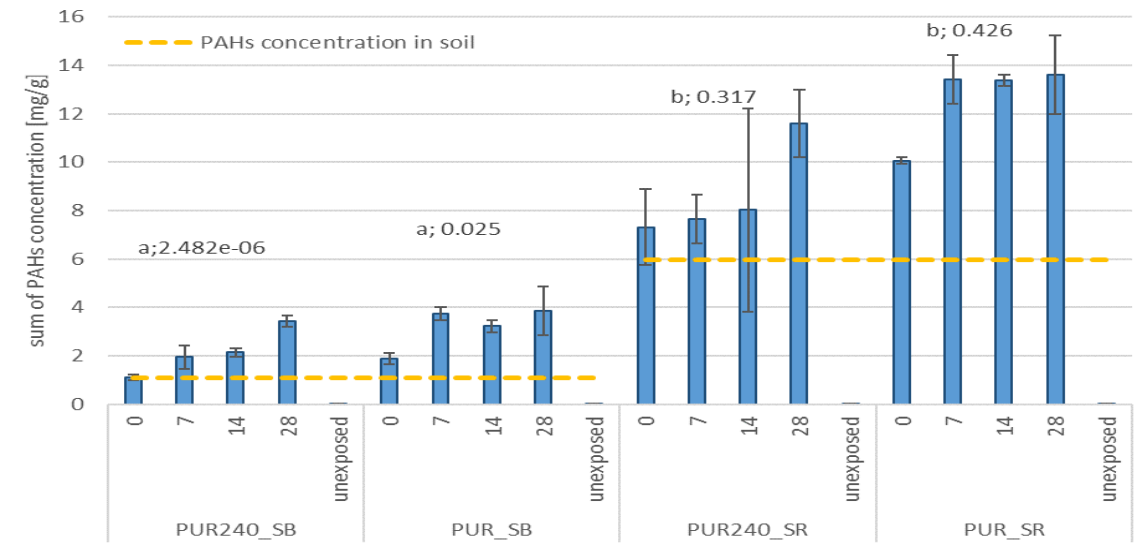
Accumulation of polycyclic aromatic hydrocarbon in microplastics

Cerna T. et al., 2021. Polycyclic aromatic hydrocarbon accumulation in aged and unaged polyurethane microplastics in contaminated soil. Science of the Total Environment 770, 14525.

Biodegradabilní polyuretan

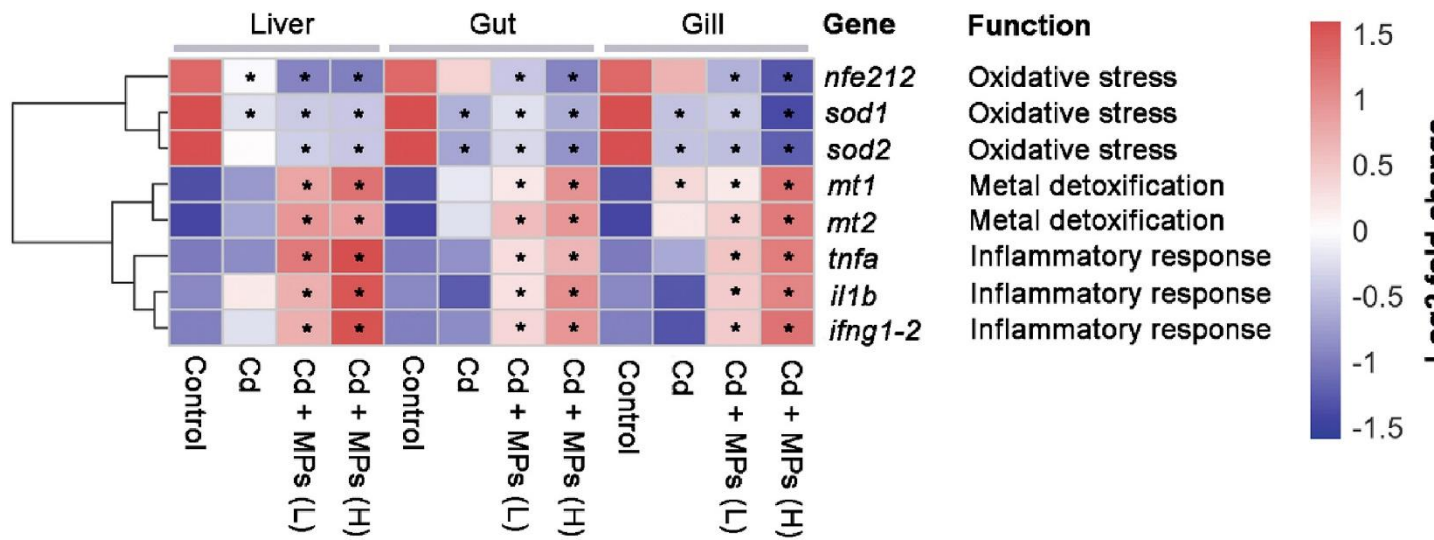
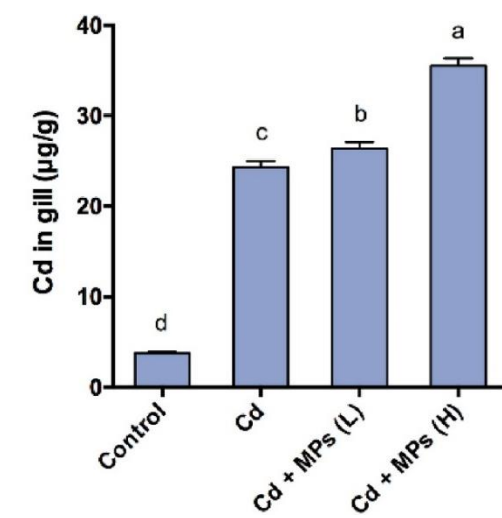
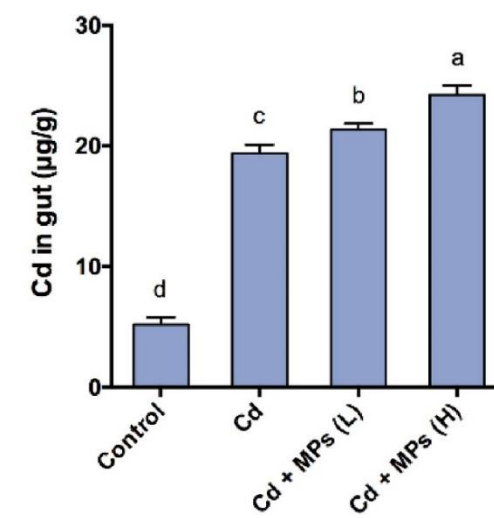
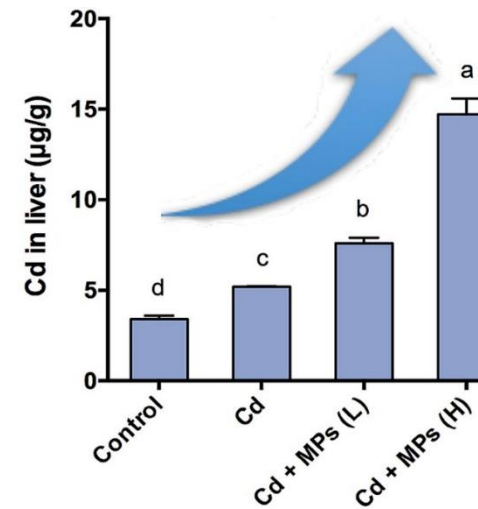
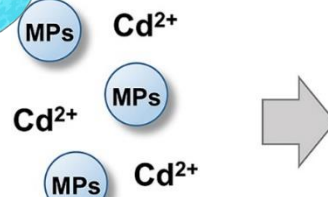


Konvenční polyuretan





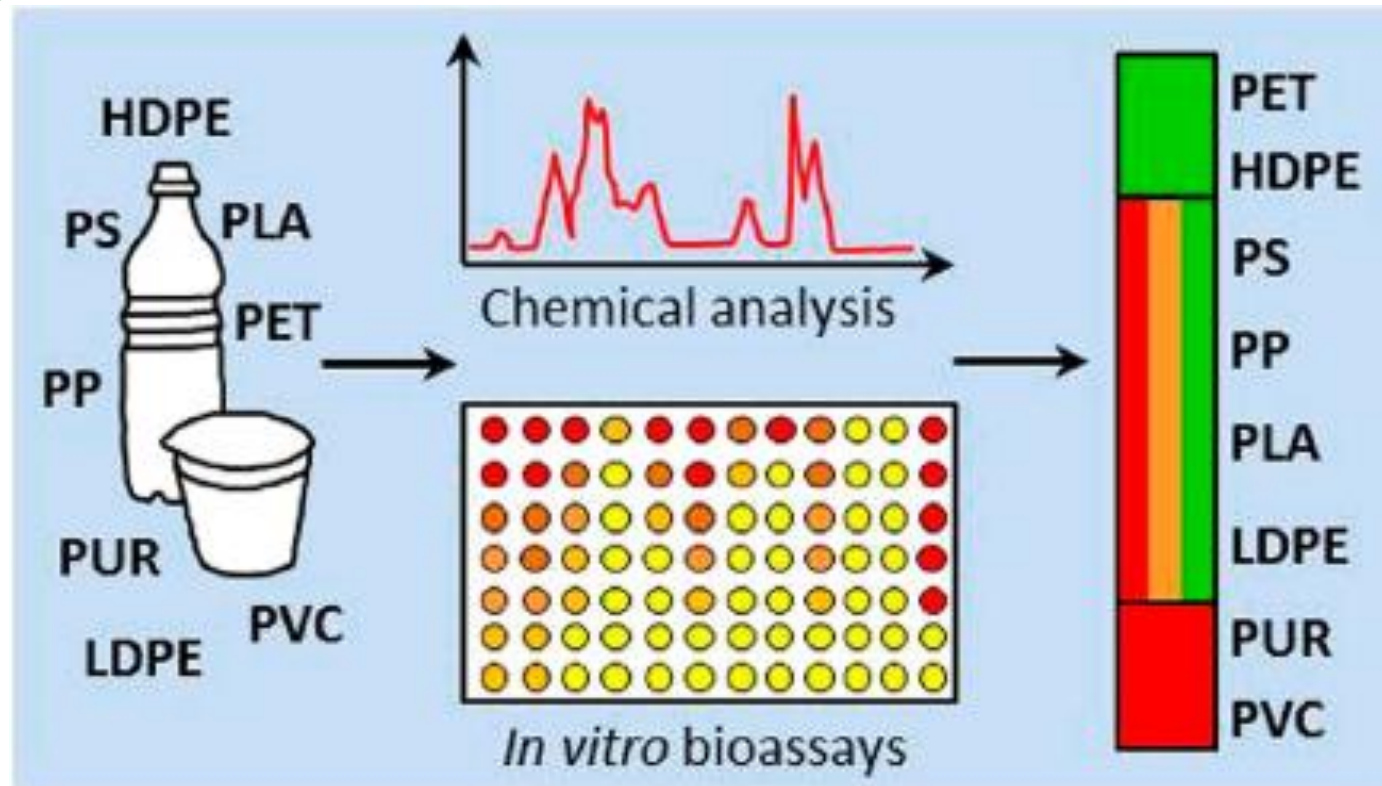
Akumulace polutantů – zvýšení toxicity



Differential expression of functional genes in different tissues determined by qRT-PCR according to the 2DDCtcomparative method ($n=45$). Gene differential expression were identified based absolute log₂fold change 1.2 and $p<0.05$ versus control group (marked with *).



Plasty a uvolňování toxických aditiv



Skupiny potenciálně nebezpečných látek s endokrinně disruptivním efektem spojované s plastovým materiélem:

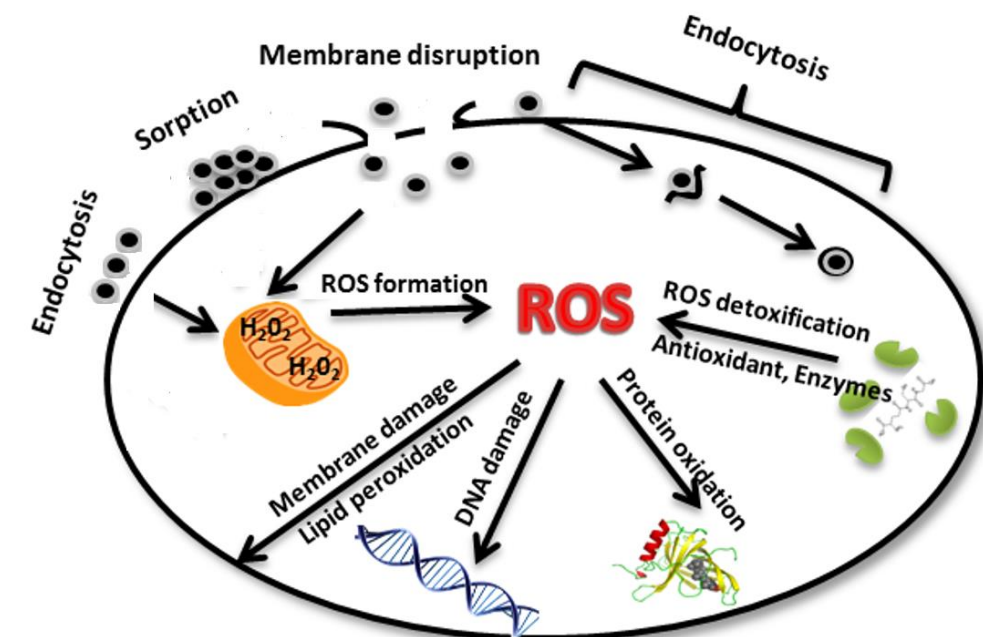
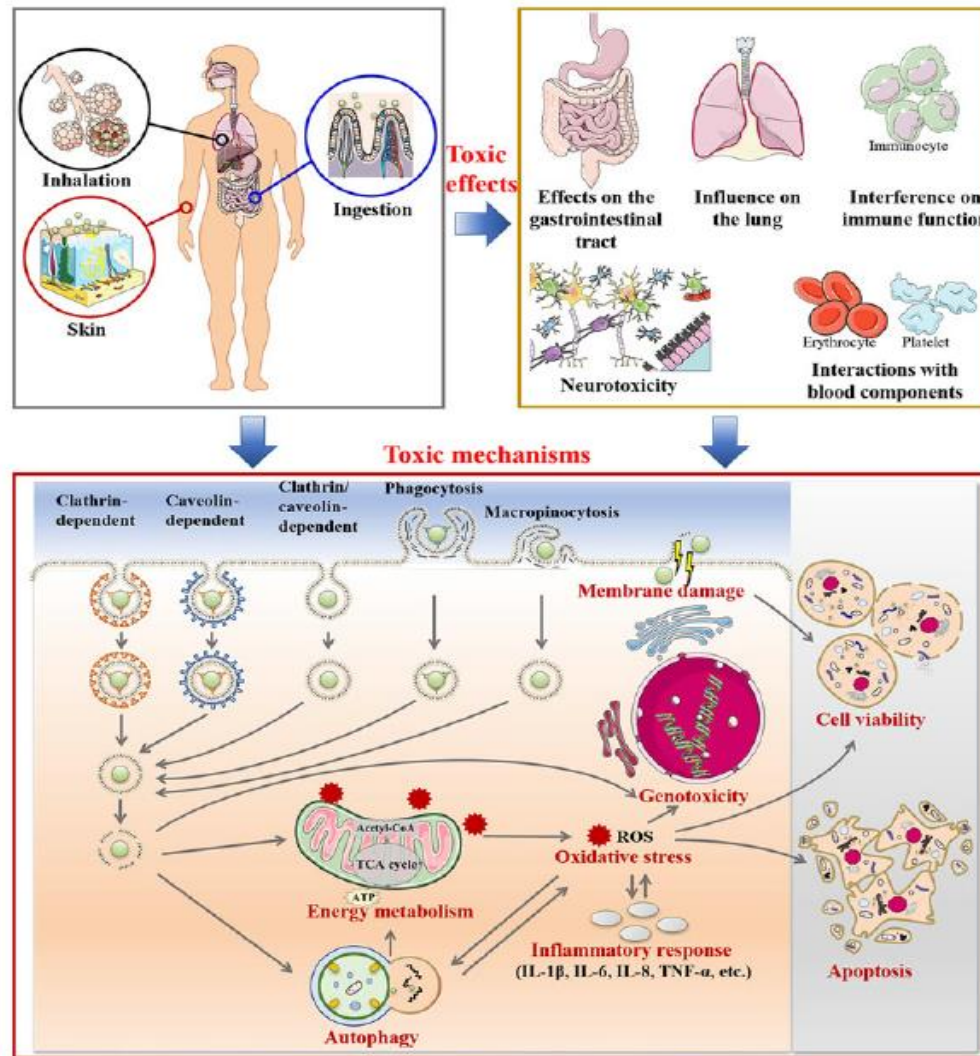
BISFENOLY
PARABENY
FTALÁTY
BENZOFENONY
PESTICIDY
FUNGICIDY
ORGANOCÍNY

Zimmermann, L. et al. (2019) 'Benchmarking the in Vitro Toxicity and Chemical Composition of Plastic Consumer Products - Supplementary', Environmental Science and Technology, 53(19), pp. 1–40. doi: 10.1021/acs.est.9b02293.

Rai, P. K. et al. (2021) 'Environmental fate, ecotoxicity biomarkers, and potential health effects of micro- and nano-scale plastic contamination', Journal of Hazardous Materials. Elsevier B.V., 403, p. 123910. doi: 10.1016/j.jhazmat.2020.123910.



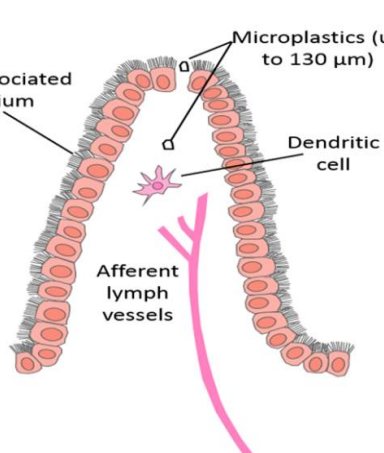
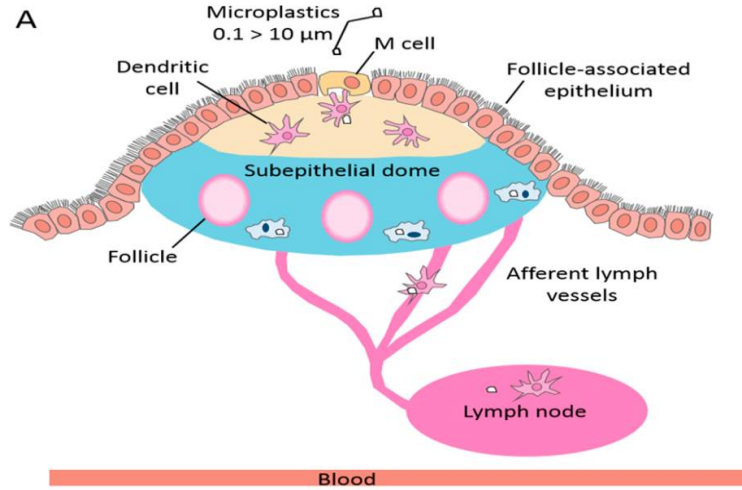
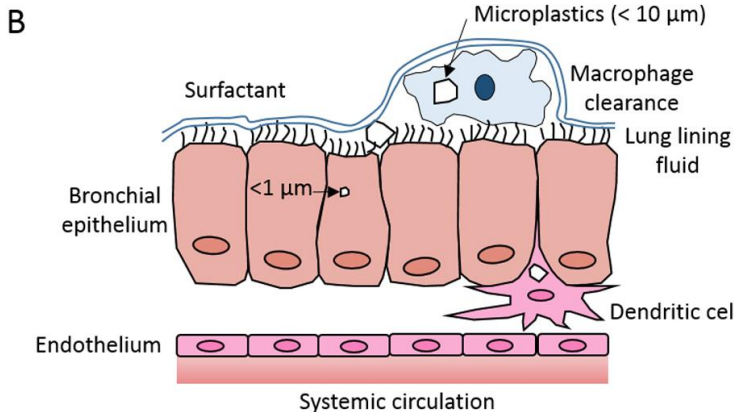
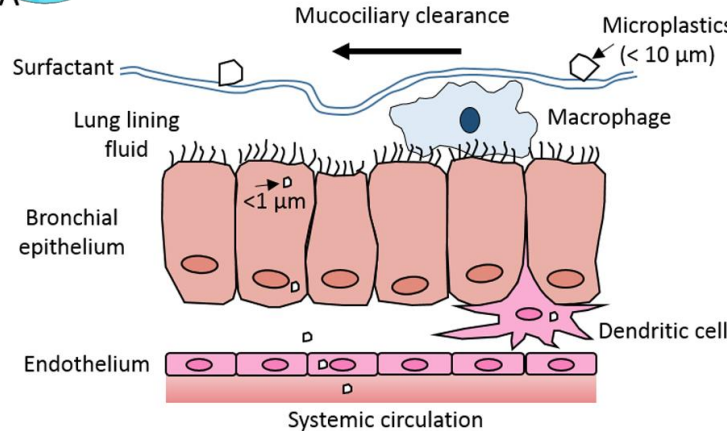
Vliv mikroplastů na lidské zdraví



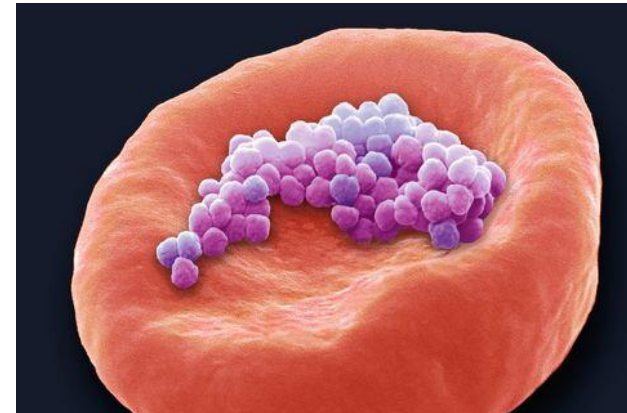
Appl Microbiol Biotechnol
(2016) 100:9809–9819

Možnosti vstupu mikroplastů do organismu

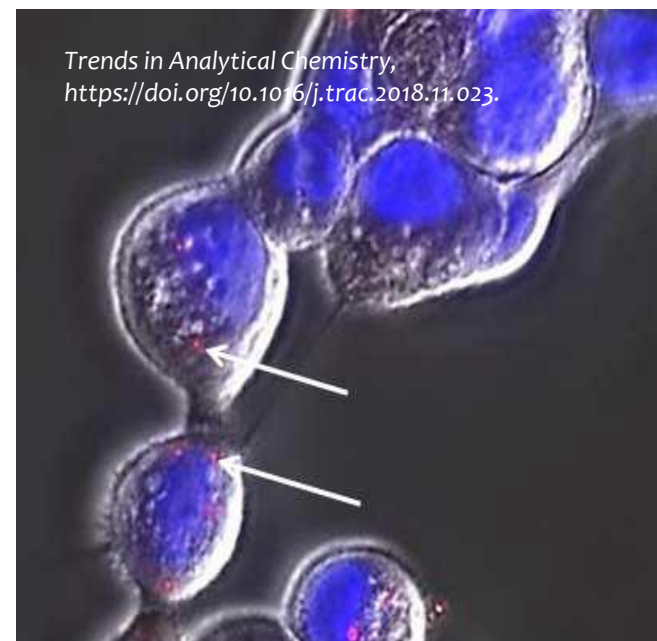
... a výsledky



Environ. Sci. Technol. 2017, 51, 6634–6647



Snímek z elektronového mikroskopu (Steve Gschmeissner)



Lidské keratinocyty obsahující červené polystyrenové částice ($0.25 \pm 0.06 \mu\text{m}$). Jádra buněk jsou obarvena modře pomocí Hoechst 33342.



Děti a expozice mikroplastům

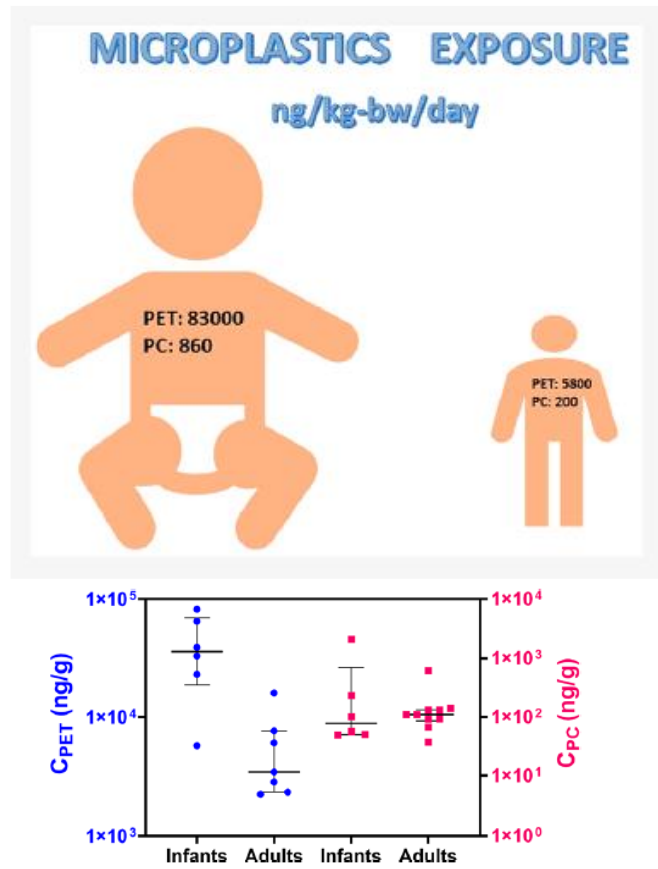


Figure 1. Concentrations (dry weight) of polyethylene terephthalate (PET) and polycarbonate (PC) microplastics in infant ($n = 6$) and adult feces ($n = 10$). Dots represent individual samples. Upper and lower lines represent interquartile ranges. Middle lines represent median values.

Zhang, J. et al. (2021) 'Occurrence of Polyethylene Terephthalate and Polycarbonate Microplastics in Infant and Adult Feces', *Environmental Science & Technology Letters*. doi: 10.1021/acs.estlett.1c00559.

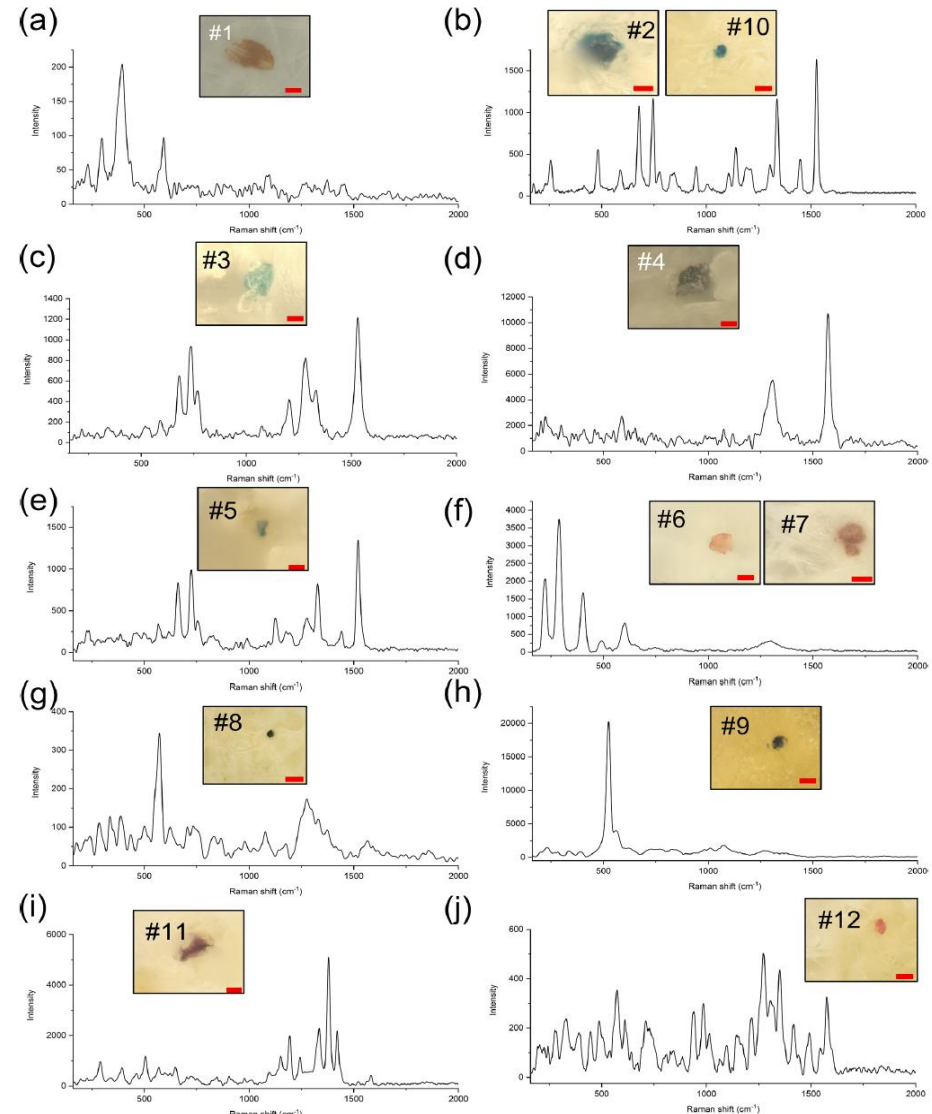


Fig. 2. Microphotographs and Raman spectra of the microplastics found in human placenta: (a) Particle #1 (scale bar 5 µm); (b) Particles #2 and #10 (scale bar 5 µm for #2 and 10 µm for #10); (c) Particle #3 (scale bar 5 µm); (d) Particle #4 (scale bar 5 µm); (e) Particle #5 (scale bar 5 µm); (f) Particles #6 and #7 (scale bar 10 µm for #6 and 5 µm for #7); (g) Particle #8 (scale bar 10 µm); (h) Particle #9 (scale bar 10 µm); (i) Particle #11 (scale bar 5 µm), and (l) Particle #12 (scale bar 10 µm).

Ragusa, A. et al. (2021) 'Plasticenta: First evidence of microplastics in human placenta', *Environment International*. Elsevier Ltd, 146, p. 106274. doi: 10.1016/j.envint.2020.106274.



Děkuji Vám za pozornost!

